

I形鋼の吊り上げ時の安定

名古屋大学 正員 福本 哲士
○学生員 山崎 麻嗣

1. はじめに

本研究は、鋼構造物の製作・架設などにともなって、I形鋼を吊り上げるときの桁の横倒れ安定について扱ったものである。構造物の大型化や、それに伴う架設の大アローワ化が進むにつれて、大スパンの桁を吊り上げる機会が多くなり、そのため桁の吊り上げ時の安定性の検討が求められるようになつた。製作・架設時の桁の横方向強さは、完成時のそれに比べて弱点が多く、桁全体としての死荷重による横倒れ不安定が生じやすくなる。また、桁の横倒れ座屈についての研究は古くから多くなされてゐるが、吊り上げヒック境界条件のもとでの研究はあまり見当たらぬ。

本研究は、このような状況のもとで、桁の吊り上げ時ににおける横倒れ座屈の問題について、数値解析を行ない、吊り位置及び吊り方と座屈強度との関係を明らかにしようとしたものである。

2. 基礎微分方程式

I形2軸対称断面桁の変形前の位置をX-Y-Zで表めし、荷重はX面内に作用するものとする。荷重が作用するとき、桁は鉛直下方にV₀だけ変位した後に座屈し、水平方向にU、鉛直方向にV変位し、中回転する。そして、この時の桁の基礎微分方程式は次式のようになる。

(2)

$$EI_x K'_x = N_y$$

$$EI_y K'_y = N_x + EI_x K_x \phi'$$

$$GJ\phi'' - EI_w \phi''' = -EI_x K_x K_y$$

3. 境界条件

吊り上げ時に桁が横倒れ変形し、吊り上げ点において桁があるねじり角φだけ回転するとき、ねじり角中に応じた拘束ねじりモーメントが生じる。しかも、Z、吊り上げ点における断面のねじれに対する境界条件は次式のようになる。

$$GJ\phi' - EI_w \phi''' = T \bar{R} \phi.$$

ここに、T R φは拘束ねじりモーメントである。(説明は図-3参照)

4. 数値解析

数値解析は、有限差分法(F.I.M.)⁽³⁾を用いて行なつた。この解析方法は、横倒れ座屈を支配する微分方程式を有限差分表示によつて、同次の連立一次方程式に置換し、その係数行列式を零にするようにして固有値を求める座屈荷重を求める方法であり、次のように行なつた。

桁を左右対称の任意の点で吊り上げようとするとき、桁の左半分について

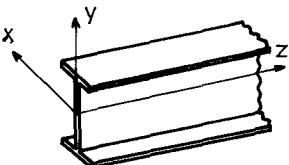


図-1. 一般図

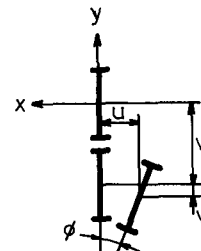


図-2. 断面の座屈前と座屈後の位置

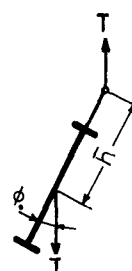


図-3. 吊り上げ点の断面境界条件

2 山崎重輔

2. 吊り上げ点の左右で、基礎微分方程式より得られる支配方程式は導びくと次式のようである。

$$GJ\phi''' - EI_w\phi'' = -\frac{1}{EI_y}\left(\frac{g}{2}x^2\right)\phi \quad \dots \text{吊り上げ点の左側}$$

$$GJ\phi''' - EI_w\phi'' = -\frac{1}{EI_y}\left(\frac{g}{2}(L-x) - \frac{g}{2}x^2\right)\phi \quad \dots \text{吊り上げ点の右側}$$

ここで、 ϕ は横の単位質量である。次に、ねじりに属する境界条件

$$\text{at } z=0, GJ\phi'_e - EI_w\phi''_e = 0 \quad \phi''_e = 0$$

$$\text{at } z=\alpha L, \phi_e = \phi_n \quad \phi'_e = \phi'_n \quad \phi''_e = \phi''_n \quad (GJ\phi'_e - EI_w\phi''_e) + \frac{g\ell}{2}\bar{x}\phi''_{e,n} = (GJ\phi'_n - EI_w\phi''_n)$$

$$\text{at } z=\frac{L}{2}, GJ\phi'_{\frac{L}{2}} - EI_w\phi''_{\frac{L}{2}} = 0 \quad \phi'_{\frac{L}{2}} = 0$$

を用ひ、 $\phi''' = f$ とし ϕ''' , ϕ'' , ϕ' , ϕ を有限差分表示にすると、支配方程式は次式のように行列表示できる。

$$GJ[A][f] - EI_w[f] = -\frac{1}{EI_y}\left(\frac{g\ell}{2}\right)^2[B][f]$$

ここで、上式の係数行列式を零にするようにすり、 $\frac{GJ\cdot L^2}{EI_w}$ をパラメータとして、次式の座屈強度を求めることができる。

$$g\ell = \sqrt{\frac{GJ \cdot EI_y}{L^2}}$$

5. 数値計算例

図-5は、拘束エフランジ面のフックによらず、左、右対称の任意の点で吊り上げたときの座屈係数 ζ と、任意の $\frac{C_1 \cdot L^2}{C_2} \left(\frac{GJ \cdot L^2}{EI_w} \right)$ に対する ζ との関係である。ここで破線は、吊り上げ点の外側を一端自由・他端固定の片持梁とし、内側を単純支持深としめたときの、両者の座屈係数の小さな方の値を示したものである。

図-6は、拘束兩端で吊り上げたとき、吊り上げ点を上フランジの方にし、拘束ねじりモーメントを大にした場合の座屈係数を示したものである。ここで、高さ倍率 $1 \sim 100$ 倍の任意の値にとっていた。

6. あとがき

吊り上げ時の横の横倒れ安定性について、弾性範囲内の検討を行いつつ、経験に基づき、2つ目は吊り上げ時の吊り方と横方向安定性についての解明を行なうことができた。さらに、複雑な吊り方に2つ目は今後の課題とした。

《参考文献》

- (1) Johansson, B., "Lateral Stability of I Beam during Lifting", Building Statics and Structural Engineering, The Royal Institute of Technology, Stockholm
- (2) Trabain, N.S., and Woolcock, S.T., "Effect of Major axis Curvature of I Beam Stability", Journal of the Engineering Mechanics Division, ASCE, Vol. 99 No. 613, Feb. 1973 pp. 954-958

- (3) Brown, P.T., and Trabain, N.S., "Finite Integral Solution of Differential Equations" Civil Engineering Transactions, Institute of Engineers, Australia, Vol. CEN, No. 2, Oct. 1978, p. 193

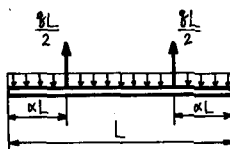


図-4 左右対称の点での荷重吊り上げ

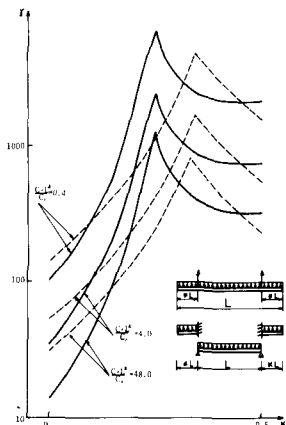


図-5 任意点吊り上げ時の座屈強度

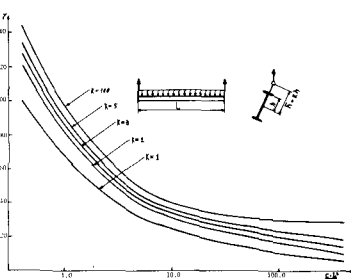


図-6 兩端吊り上げ時の座屈強度